

Босаков С.В., Мордич Д.М.

ФОРМУЛА ПЕРЕМЕЩЕНИЙ ПРИ ДЕЙСТВИИ ГОРИЗОНТАЛЬНОЙ СИЛЫ НА УПРУГИЙ СЛОЙ

В существующих нормативных документах [1] заложены две модели упругих оснований: линейно-деформируемое полупространство с условным ограничением сжимаемой толщи и линейно-деформируемый слой.

Однако в ныне применяемых программных комплексах [2], [3] используют только одну модель упругого основания с двумя коэффициентами постели, способную учитывать только вертикальные нагрузки при расчете системы “здание + фундамент + основание”, поэтому инженеру – расчетчику при расчете сооружения на действие ветра, горизонтального направления сейсмической волны и т.д. приходится вводить в конструкцию фундамента горизонтальные связи, жесткость которых и места расположения зачастую инженерно не обоснованы, что дает ошибочные результаты в распределении усилий при применении плитных фундаментов.

Авторы предлагают решить этот вопрос следующим образом. Способом Б.Н. Жемочкина [4] рассчитывается фундаментная плита на действие горизонтальной единичной силы. В результате расчета определяется горизонтальное перемещение плиты или ее податливость. Это позволяет поставить в каждом узле конечноэлементной модели фундаментной плиты горизонтальную связь, совместимую с принятой моделью упругого основания. Однако при реализации способа Б.Н. Жемочкина необходимо иметь выражения для горизонтальных перемещений границы основания от действия равномерно распределенной горизонтальной нагрузки. Такая задача решена только для полупространства [4, 5, 6], поэтому ниже авторы выводят выражения для горизонтальных перемещений поверхности упругого слоя от единичной силы, равномерно распределенной по площади прямоугольника на поверхности слоя.

Определение горизонтальных перемещений u поверхности упругого однородного изотропного слоя от действия горизонтальной сосредоточенной силы. Путь решения этой задачи (рис. 1) в общем виде указан в монографии Я.С. Уфлянда [7], где решение ищется в виде четырех гармонических функций:

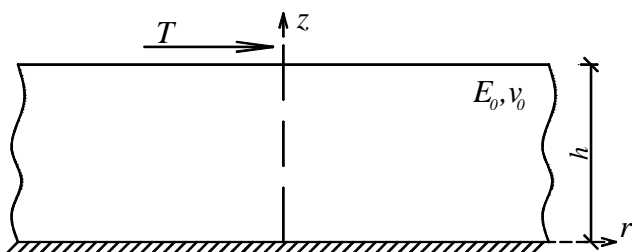


Рис. 1. Действие горизонтальной силы на упругий слой.

$$\Phi_0 = \cos \int_0^{\infty} A_0 sh\lambda z J_1(\lambda r) d\lambda; \quad (1)$$

$$\Phi_3 = \cos \int_0^{\infty} (A_3 ch\lambda z + B_3 sh\lambda z) J_1(\lambda r) \lambda d\lambda,$$

причем профессором Я.С. Уфляндом сразу найдено, что

$$\Phi_1 = \frac{T}{4\pi(1-\nu_0)} \int_0^{\infty} \frac{sh\lambda z}{ch\lambda h} J_0(\lambda r) d\lambda; \quad (2)$$

$$\Phi_2 = 0,$$

а остальные коэффициенты A_i, B_i (i) находятся из решения системы линейных уравнений следующего вида ($\mu = \lambda h$):

$$\begin{cases} -[(1-2\nu_0)sh\mu + \mu ch\mu] A_3 + \\ + [2(1-\nu_0)ch\mu - \mu sh\mu] B_3 = \Psi_1(\mu) \\ -[2(1-\nu_0)ch\mu + \mu sh\mu] A_3 + \\ + [(1-2\nu_0)sh\mu - \mu ch\mu] B_3 = \Psi_2(\mu) \end{cases}$$

$$\Psi_1(\mu) = \frac{Th}{4\pi(1-\nu_0)} \left[1 + (1-2\nu_0) \frac{th\mu}{\mu} \right];$$

$$\Psi_2(\mu) = -\frac{Th \cdot th\mu}{4\pi(1-\nu_0)}$$

$$\text{и } A_0 = (3-4\nu_0) A_3 - \frac{Th}{4\pi(1-\nu_0)} \cdot \frac{sh\mu}{ch^2\mu} \quad (3)$$

Для горизонтальных перемещений поверхности упругого слоя имеем [7]:

$$\begin{aligned} 2G_0 u &= -\frac{\partial F}{\partial x} + 4(1-\nu_0)\Phi_1 = \\ &= \frac{\partial}{\partial x} (\Phi_0 + x\Phi_1 + y\Phi_2 + z\Phi_3) + 4(1-\nu)\Phi_1 = \\ &= (3-4\nu_0)\Phi_1 - x \frac{\partial \Phi_1}{\partial x} - \frac{\partial}{\partial x} (\Phi_0 + h\Phi_3) \end{aligned} \quad (4)$$

Раскладываем гиперболический тангенс в ряд [8]:

$$th\mu = 1 + 2 \sum_{k=1}^{\infty} (-1)^k e^{-2k\mu},$$

и для $z=h$ находим после интегрирования

$$\Phi_1 = \frac{T}{4\pi(1-\nu_0)} \int_0^{\infty} \left[1 + 2 \sum_{k=1}^{\infty} (-1)^k e^{-2k\lambda h} \right] J_0(\lambda r) d\lambda =$$

$$= \frac{T}{4\pi(1-\nu_0)} \left[\frac{1}{r} + 2 \sum_{k=1}^{\infty} \frac{(-1)^k}{\sqrt{4k^2 h^2 + r^2}} \right],$$

$$r = \sqrt{x^2 + y^2} \quad (5)$$

При этом использовались табличные интегралы [8]:

Босаков Сергей Викторович, доктор технических наук, профессор, профессор кафедры строительной механики Белорусского национального технического университета.

Беларусь, БНТУ, 220027, г. Минск, пр. Ф.Скорины, 65.

Мордич Дмитрий Михайлович, инженер 1-кат. лаборатории строительной механики и автоматизации расчета зданий и сооружений отдела строительных конструкций БелНИИС.

Беларусь, БелНИИС, 220114, г. Минск, Староборисовский тракт, 15.

$$\int_0^{\infty} J_0(\lambda r) d\lambda = \frac{1}{r}; \int_0^{\infty} e^{-2k\lambda h} J_0(\lambda r) d\lambda = \frac{1}{\sqrt{r^2 + 4k^2 h^2}}.$$

Запишем часть выражения (4) в несколько иной форме, чтобы облегчить дальнейшие выкладки:

$$\frac{\partial}{\partial x}(\Phi_0 + h\Phi_3) = \frac{\partial}{\partial r}(\Phi_0 + h\Phi_3) \cdot \frac{\partial r}{\partial x} =$$

$$= \cos \varphi \frac{\partial}{\partial r}(\Phi_0 + h\Phi_3);$$

$$\frac{\partial}{\partial x} \Phi_1 = \cos \varphi \frac{\partial \Phi_1}{\partial r}, \cos \varphi = \frac{x}{r}.$$

В результате решения системы (3) находим

$$A_3 = \frac{Th}{4\pi(1-\nu_0)} \times \frac{-2(1-2\nu_0)^2 ch\mu + 2[\mu^2 + (1-2\nu_0)^2] sch\mu + 4\mu(1-\nu_0) sh\mu}{\mu\Delta};$$

$$B_3 = -\frac{Th}{4\pi(1-\nu_0)} \cdot \frac{4(1-\nu_0)[\mu ch\mu + (1-2\nu_0)sh\mu]}{\mu\Delta}; \quad (6)$$

$$\Delta = 5 + 2\mu^2 + 4\nu_0(2\nu_0 - 3) + (3 - 4\nu_0)ch2\mu,$$

а затем по (1) определяем A_0 . Подставим (6) в (4). После преобразований получаем для $z = h$:

$$\Phi_0 + h\Phi_3 = \frac{Th \cos \varphi}{4\pi(1-\nu_0)} \int_0^{\infty} L_u(\mu, \nu_0) \frac{J_1\left(\mu \frac{r}{h}\right)}{\mu} d\mu, \quad (7)$$

$$L_u(\mu, \nu_0) = \frac{2\mu[\mu^2 + (1-2\nu_0)^2]sch^2\mu - (1-2\nu_0)^2[2\mu + (3-4\nu_0)sh2\mu]}{\Delta} + \frac{+2(3-4\nu_0)[\mu^2 + (1-2\nu_0)^2]th\mu}{\Delta}.$$

Исследуем асимптотические свойства функции $L_u(\mu, \nu_0)$ в выражении (7)

$$\lim_{\mu \rightarrow \infty} L_u(\mu, \nu_0) = -(1-2\nu_0)^2;$$

$$\lim_{\mu \rightarrow 0} L_u(\mu, \nu_0) = \frac{1}{1-\nu_0} \mu^3. \quad (8)$$

В соответствии с этими асимптотическими свойствами (8) аппроксимируем $L_u(\mu, \nu_0)$ на полубесконечном интервале выражением:

$$L_u(\mu, \nu_0) \approx \frac{1}{\mu} \left\{ 1 + \left[1 + 8(1-\nu_0)(1-2\nu_0)^2 \right] \frac{\mu^3 e^{-2\mu}}{1-\nu_0} - (1-2\nu_0)^2 + th^3 2\mu \right\} \quad (9)$$

На рис. 2 изображены графики точного и аппроксимированного выражений $L_u(\mu, \nu_0)$. Надо подчеркнуть, что точность аппроксимации $L_u(\mu, \nu_0)$ не эквивалентна точности вычисления перемещений, она всегда меньше, так как (7) составляет часть от полного перемещения u . Далее используем выражение [8].

$$th^3 2\mu = 1 - 6e^{-4\mu} + 18e^{-8\mu} + 0(e^{-12\mu}) \quad (10)$$

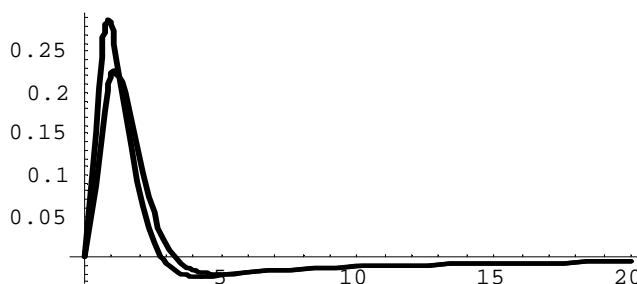


Рис. 2. Графики точного и аппроксимированного выражений ($DELTA = L(\mu, \nu_0)$) при определении искомых горизонтальных перемещений $u(x, y)$.

После реализации вычислений на пакете «Mathematika» [9], окончательно получаем для искомых горизонтальных перемещений:

$$u(r) = \frac{T(1+\nu_0)}{4\pi(1-\nu_0)E_0} \times \left\{ \left[\frac{1}{r} + 2 \sum_{k=1}^{\infty} \frac{(-1)^k}{\sqrt{4k^2 h^2 + r^2}} \right] (3-4\nu_0) + \left[\frac{1}{r^3} + 2 \sum_{k=1}^{\infty} \frac{(-1)^k}{(4k^2 h^2 + r^2)^{3/2}} \right] - \frac{24h^4(h^2 - r^2) \times (32\nu_0^3 - 64\nu_0^2 + 40\nu_0 - 9)}{r(4h^2 + r^2)^{7/2}(1-\nu_0)} \right\} \quad (11)$$

Если в полученном выражении для искомых горизонтальных перемещений перейти к пределу при $h \rightarrow \infty$, то должны бы получить выражение для горизонтальных перемещений u поверхности упругого однородного изотропного полупространства от горизонтальной силы. Нами получено после взятия предела

$$u(r) = \frac{T(1+\nu_0)}{4\pi(1-\nu_0)E_0} \left(\frac{3-4\nu_0}{r} - \frac{x^2}{r^3} \right) \quad (12)$$

На рис. 3 приведены графики перемещений, полученных по формуле (12) и точных [6]

$$u(r) = \frac{T}{\pi E_0} \left[\frac{1-\nu_0^2}{r} + \frac{\nu_0(1+\nu_0)x^2}{r^3} \right]. \quad (13)$$

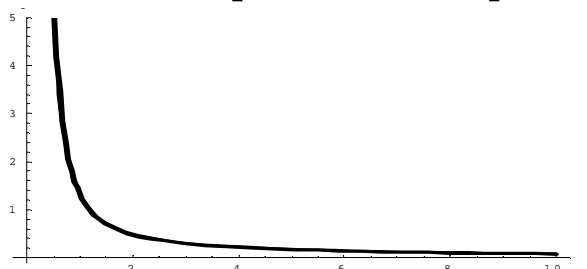


Рис. 3. Графики точного и полученного авторами выражений для горизонтальных перемещений $u(x, y)$ поверхности полупространства при $\nu_0=1/3$.

Отметим, что при выбранном значении коэффициента Пуассона графики практически совпадают ($\nu_0=1/3$ – наибольшее).

лее вероятное значение коэффициента Пуассона для широкого класса грунтовых оснований [10]).

Определение горизонтальных перемещений $v(x, y)$ поверхности упругого однородного изотропного слоя от горизонтальной сосредоточенной силы. Выше были получены выражения для гармонических функций, описывающих напряженно-деформированное состояние упругого слоя от действия горизонтальной сосредоточенной силы. Это также позволяет определить перемещения $v(x, y)$ поверхности слоя. Согласно [7], имеем

$$2G_0 v = -\frac{\partial}{\partial y} (\Phi_0 + x\Phi_1 + y\Phi_2 + z\Phi_3) + 4(1-\nu_0)\Phi_2 =$$

$$= -x \sin \varphi \frac{\partial \Phi_1}{\partial r} - \sin \varphi \frac{\partial}{\partial r} (\Phi_0 + h\Phi_3),$$

$$\sin \varphi = \frac{y}{r}.$$

Подставляя (9), (1) и (2) в (14), после преобразований с помощью пакета «Mathematika» получаем выражение для искомых горизонтальных перемещений $v(x, y)$:

$$v(r) = \frac{T(1+\nu_0)}{4\pi(1-\nu_0)E_0} \left\{ \frac{xy}{r^3} + 2 \sum_{k=1}^{\infty} \frac{(-1)^k xy}{(4k^2 h^2 + r^2)^{3/2}} - \right.$$

$$\left. - \frac{1+8(1-2\nu_0^2)(1-\nu_0)}{h(1-\nu_0)} \left[\frac{6y}{r \left(4 + \frac{r^2}{h^2}\right)^{5/2}} - \frac{30ry}{h^2 \left(4 + \frac{r^2}{h^2}\right)^{7/2}} \right] - \right.$$

$$\left. - (1-2\nu_0^2) \left[\frac{y}{r^2} - \frac{12y}{8h^2 \left(1 + \sqrt{1+r^2/16h^2}\right)} + \frac{36y}{16h^2 \left(1 + \sqrt{1+r^2/32h^2}\right)} \right] \right\}$$

Переходя в (15) к пределу при $h \rightarrow \infty$, получаем

$$v(r) = \frac{T(1+\nu_0)}{4\pi(1-\nu_0)E_0} \cdot \frac{xy}{r^3}. \quad (16)$$

На рис. 4 приведены графики точного [6] и аппроксимированного (16) выражений для перемещений $v(x, y)$ границы однородного изотропного полупространства от действия горизонтальной сосредоточенной силы T при $\nu_0=1/3$ и $y=2$.

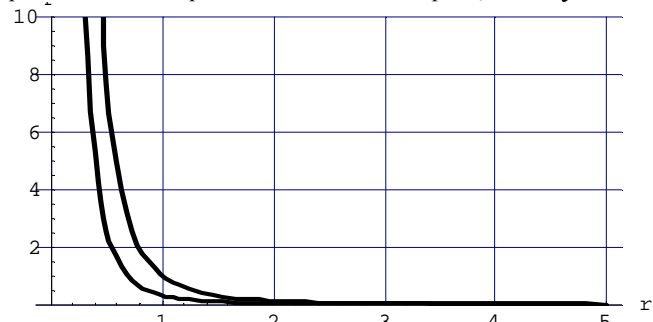


Рис. 4. Графики точного и полученного выражений $v(x, y)$ от действия горизонтальной силы T для упругого полупространства.

Необходимо отметить некоторое различие в перемещениях $v(x, y)$ для полупространства при малых x , то есть вблизи места приложения нагрузки.

Определение горизонтальных перемещений поверхности однородного изотропного слоя от действия равномерно распределенной по площади прямоугольного участка единичной силы. На рис. 5 изображена площадка нагружения, по которой равномерно распределена нагрузка

$$q = \frac{1}{4ab}.$$

При определении перемещений от этой нагрузки с помощью формул (11) и (15) целесообразно точно вычислять только те двойные интегралы, которые содержат сингулярность в знаменателе [4, 5, 6]. Остальные интегрировать численно по квадратурным формулам [11], так как они являются гладкими функциями и их точное вычисление приводит к слишком громоздким формулам. Таким образом, необходимо вычислять точно только следующие интегралы (рис. 5)

$$\int_a^b \int_c^d \frac{d\xi d\eta}{R}, \quad \int_a^b \int_c^d \frac{(x-\xi)d\xi d\eta}{R^3}, \quad \int_a^b \int_c^d \frac{(x-\xi)(y-\eta)d\xi d\eta}{R^3} \quad (17)$$

Остальные слагаемые, входящие в формулы для перемещений (11) и (15), предлагается вычислять по квадратурной формуле, приведенной в справочнике [11]. Приводим эту формулу ниже (таблица 1).

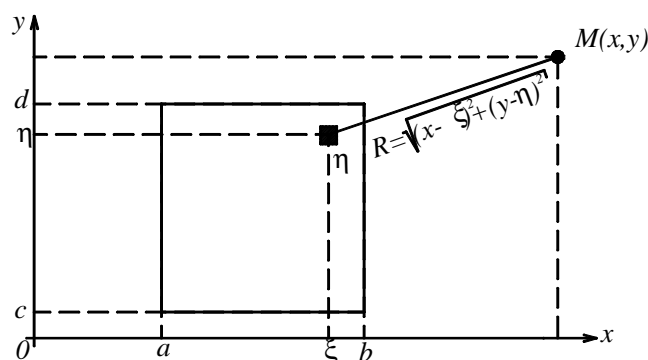


Рис. 5. Область интегрирования для определения перемещений от действия равномерно распределенной нагрузки.

Область интегрирования – квадрат со стороной $2h$ (рис. 6).

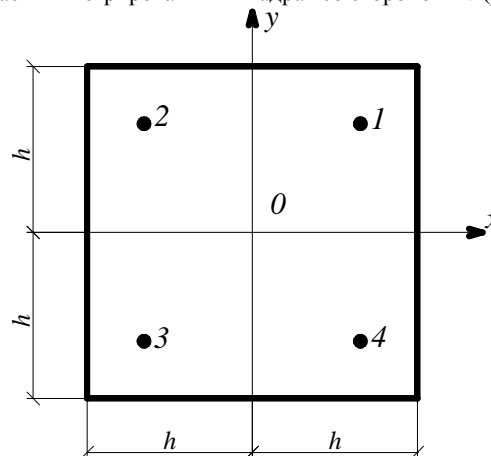


Рис. 6. К использованию квадратурной формулы для двухмерных интегралов.

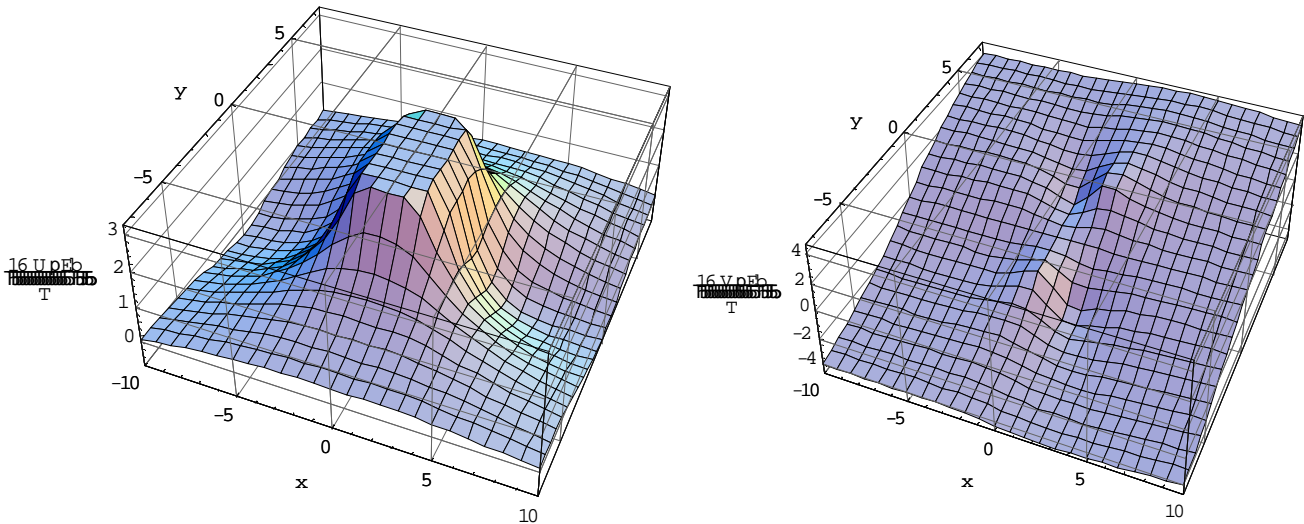


Рис. 7. Поверхности перемещений границы упругого $u(x, y)$ (слева) и $v(x, y)$ (справа) слоя от действия касательной нагрузки с равнодействующей T , распределенной по площади квадрата со стороны $2a$ ($h=4a, \nu_0=1/3$).

Двойной интеграл по площади квадрата равен

$$\frac{1}{4h^2} \iint_S f(x, y) dx dy = \sum_{i=1}^4 w_i f(x_i, y_i) + R, \quad (18)$$

где R - погрешность интегрирования.

Таблица 1

Точки квадрата интегрирования (x_i, y_i)	Весовая функция (w_i)	Точность интегрирования
$\pm h \frac{\sqrt{3}}{3}, \pm h \frac{\sqrt{3}}{3}$	$\frac{1}{4}$	$R=(h^4)$

Для использования этой квадратурной формулы необходимо эту прямоугольную область $[a, b, c, d]$ (рис. 6) привести к квадратной. Это нетрудно выполнить, используя замену переменных в интегралах, по следующей схеме (для простоты выкладки участок нагружения расположен в начале координат и определяется перемещение точки $M(x, y)$).

$$\int_{-a}^a \int_{-b}^b f(\bar{x}_n - \bar{\xi}, \bar{y}_n - \bar{\eta}) d\bar{\xi} d\bar{\eta} =$$

$$= ab \int_{-1}^1 \int_{-1}^1 f(a(x_n - \xi), b(y_n - \eta)) d\xi d\eta$$

Здесь использовалась подстановка:

$$\begin{aligned} \bar{\xi} &= a\xi; \quad \bar{x} = ax; \quad d\bar{\xi} = ad\xi; \\ \bar{\eta} &= b\eta; \quad \bar{y} = by; \quad d\bar{\eta} = bd\eta. \end{aligned} \quad (19)$$

В итоге получаем с учетом (18) для двойного интеграла

$$4ab \sum_{i=1}^4 w_i f(a(x_n - \xi_i), b(y_n - \eta_i)),$$

$$\xi_i = \pm \frac{\sqrt{3}}{3}; \eta_i = \pm \frac{\sqrt{3}}{3}; w_i = \frac{1}{4}.$$

На рис. 7 приведены поверхности перемещений u и v границы упругого однородного изотропного слоя при действии

на ее поверхности касательной нагрузки, распределенной по площади квадрата, полученные с помощью пакета «Mathematika». При этом в формулах перемещений от действия единичной силы (11) и (15) авторы ограничились пятью членами в каждом ряду.

Некоторых пояснений требует принятое авторами ограничение членов ряда в формулах (11) и (15). Это вызвано необходимостью соответствия точности вычисления перемещений по формулам (11), (15) точности нахождения физической постоянной E_0 (модуля деформации грунта), которая определяется в полевых условиях для грунтов с погрешностью до 20% [11].

СПИСОК ИСПОЛЬЗОВАННЫХ ИСТОЧНИКОВ

1. СНиП 2.02.01-83. Основания зданий и сооружений. – М.: Стройиздат, 1985. – 41с.
2. Перельмутер А.В., Сливкер В.И. Расчетные модели сооружений и возможность их анализа. Изд. 2. – Киев: изд-во Сталь, 2002. – 467 с.
3. SCAD Structure для пользователя. – Мн., 2002. – 340 с.
4. Жемочкин Б.Н., Сеницын А.П. Практические методы расчета фундаментных балок и плит. – М.: Стройиздат, 1960. – 239 с.
5. Босаков С.В. Статические расчеты плит на упругом основании. – Мн.: БНТУ, 2000. – 128с.
6. Флорин В.А. Основы механики грунтов Т.1. – М.: Гостройиздат, 1959. – 357 с
7. Уфлянд Я.С. Интегральные преобразования в теории упругости. – М.: Наука, 1968. – 402с.
8. Градштейн И.С., Рыжик И.М. Таблицы интегралов, сумм, рядов и произведений. – М.: ФМ, 1963. – 1100с.
9. Дьяконов В.П. Системы символьной математики. – М.: СК Пресс, 1998. – 328с.
10. Основания, фундаменты и подземные сооружения. Справочник проектировщика. – М.: Стройиздат, 1985. – 479с.
11. Абрамович М. Стиган И. Справочник по специальным функциям. – М.: Наука. 1979. – 830 с.